

Д. І. МОРОЗОВ, канд. техн. наук, доц., Донбаський державний технічний університет, Лисичанськ;
І. С. ШЕВЧЕНКО, канд. техн. наук, проф., Донбаський державний технічний університет, Лисичанськ;
Н. І. АНДРЕЄВА, канд. техн. наук, доц., Донбаський державний технічний університет, Лисичанськ.

ВПЛИВ ВТРАТИ ІНФОРМАЦІЇ ПРО ОРІЄНТАЦІЮ ПОТОКІВ ВЕНТИЛЬНОГО ДВИГУНА НА БАЗІ СИНХРОННОЇ МАШИНИ НА ЙОГО РОБОТУ

Актуальність роботи. Орієнтація магнітних потоків у електричній машині формує її електромагнітний момент та визначає режим роботи у якій вона попадає – це буде двигун постійного чи змінного струму. Тому дуже важливо знати результати втрати такої орієнтації при побудові вентильних двигунів.

Матеріали та результати досліджень. В [1 – 3] подана конструкція та теорія роботи вентильного двигуна (ВД) постійного струму на базі синхронної машини (СМ) оберненої конструкції. Основою одержання двигуна постійного струму (ДПС) з СМ є формування кутової орієнтації векторів магнітних потоків через змінення частоти струму, що подається в якірні обмотки СМ. Слід наголосити, що принциповою відмінністю машин постійного струму є нерухомість магнітних потоків індуктора і якоря у просторі. Це досягається тим, що обмотка збудження розташована на нерухомих полюсах, а якірні обмотки живяться від джерела постійного струму через механічний перетворювач частоти у вигляді колектора, вихідна частота струму якого «жорстко» «прив'язана» до швидкості обертання ротора. Така ідеологія побудови двигуна забезпечує обертання магнітного потоку якірної обмотки зі швидкістю ротора у напрямку протилежному руху останнього. Таким чином у статичних режимах роботи забезпечується нерухомість у просторі і магнітного потоку якірної обмотки. Механічний колектор, що розміщений на валу ротора у машини постійного струму традиційної конструкції, у ВД замінюється електронним – перетворювачем частоти (ПЧ), частота струму якого «задається» швидкістю обертання якірної обмотки, тобто ротора. Найбільш повним аналогом механічного колектора ДПС є перетворювач частоти (ПЧ) в режимі джерела струму який формує фазовий кут φ_1 між основними гармоніками струму та ЕРС холодного ходу в якірній обмотці – це так званий електронний колектор першого типу.

Стабілізація кутового положення векторів ЕРС і струму якоря реалізується завдяки регулюванню вихідної частоти ПЧ при змінній швидкості ротора ВД у випадку збурень. Як тільки збільшується навантаження на вал останній починає зменшувати швидкість. При цьому порушується орієнтація магнітних потоків у просторі і змінюється кут φ_1 . ПЧ зменшує частоту струму в якірній обмотці відновлюючи необхідну орієнтацію потоків. А у ВД з'являється статизм у каналі збурення.

У цьому випадку електромагнітний момент, що формується взаємодією потоків індуктора та якірної обмотки, розраховується за простою формулою

$$M_e = C \Phi_I I_a, \quad (1)$$

де I_a – еквівалентний струм якірної обмотки СМ;

Φ_I – магнітний потік одного полюса;

C – конструктивна стала машини,

а механічні характеристики ВД нагадують такі у ДПС.

При втраті контролю за вказаним кутом ВД виходить з режиму ДПС і переходить у синхронний для СМ з коливаннями ротора. При періодичному порушенні синхронного ходу, як відомо, змінюється величина магнітного потоку, що генерується якірною обмоткою, яка знаходиться на роторі. У зв'язку з цим виникають перехідні струми, що протидіють зміненню потокозчеплення обмотки якоря, тобто підтримують його величину. Для одержання виразу електромагнітного моменту для цього режиму розглянемо діаграму напруг для усталеного (рис. 1, а) та перехідного (рис. 1, б) режиму роботи двигуна.

Із діаграми рисунка 1, а видно що

$$\begin{aligned} I_d x_d &= E_0 - U_n \cos \theta; \\ I_d x_q &= E_q - U_n \sin \theta, \end{aligned} \quad (2)$$

де U_n , E_0 , E_d , E_q – величини відповідно напруги мережі (ПЧ) та ЕРС якірної обмотки, наведеної потоком індуктора при обертанні ротора, а також складові сумарної ЕРС по поздовжній і поперечній осях СМ;

I_d , I_q – складові якірного струму по поздовжній та поперечній осях;

x_d , x_q – синхронні реактивні опори СМ поздовжній та поперечній осях відповідно;

θ – величина кута між осями потоків індуктора та якоря.

Використовуючи (2) одержимо

$$I_d = \frac{E_0 - U_n \cos \theta}{x_d}, \quad (3)$$

$$E_q = E_0 \frac{x_q}{x_d} + U_n \frac{x_d - x_q}{x_d} \cos \theta. \quad (4)$$

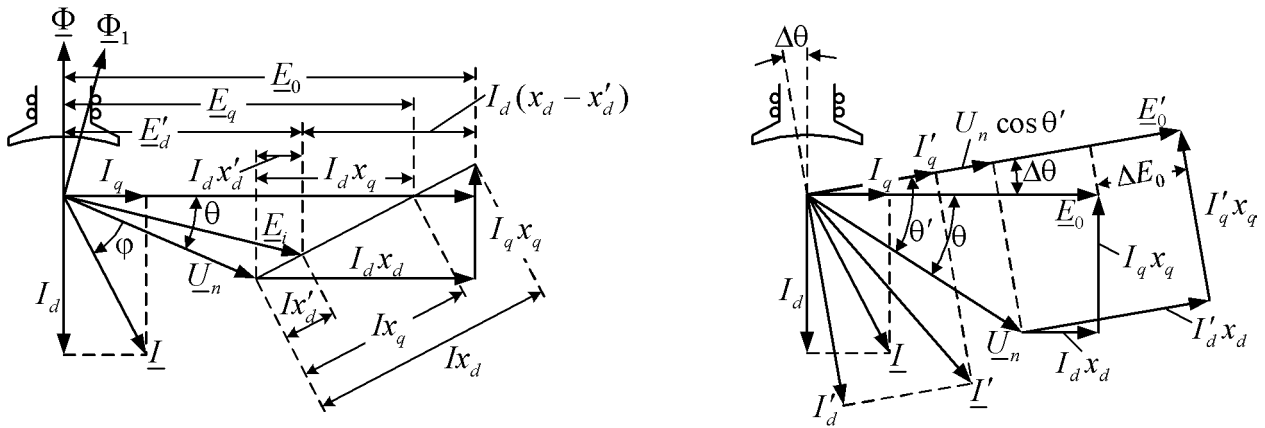


Рис. 1 Векторні діаграми ВД при втраті потрібної орієнтації магнітних потоків: а – в усталеному режимі, б – в перехідному режимі коливань ротора

Величина електромагнітного моменту

$$M_{\theta} = \frac{P_e}{\omega_0} = \frac{1}{\omega_0} \left[\frac{U_n E_0}{x_d} \sin \theta + \frac{U_n^2}{2} \left(\frac{1}{x_q} - \frac{1}{x_d} \right) \sin 2\theta \right], \quad (5)$$

де $\omega_0 = 2\pi f_1 / p_d$ – синхронна швидкість СМ на даній частоті f_1 ПЧ.

З (5) не видно у явному виді як коливання ротора впливають через перехідні струми в обмотці збудження на коливання моменту. Якщо прийняти активні опори ВД рівними нулю, то повинна залишатися незмінною величина ЕРС якірної обмотки $E'_d = \text{const}$ завдяки незмінній складовій магнітного потоку Φ_0 , що зчеплена з обмоткою збудження (див. рис. 1, а)

$$E'_d = U_n \cos \theta + I_d x_d. \quad (6)$$

Тому

$$E_q = E'_d \frac{x_q}{x'_d} + U_n \frac{x'_d - x_q}{x'_d} \cos \theta. \quad (7)$$

Тоді

$$M'_0 = \frac{1}{\omega_0} \left[\frac{U_n E'_d}{x'_d} \cos \theta + \frac{U_n^2}{2} \left(\frac{1}{x_q} - \frac{1}{x'_d} \right) \cos 2\theta \right]. \quad (8)$$

Розділимо M'_0 на дві складові – ту що сформована основним усталеним струмом обмотки збудження i_{f0} , і ту, що залежить від перехідних струмів Δi_f . Скористаємося діаграмою напруг рисунка 1, б при швидкому повороті ротора на кут $\Delta \theta' = \theta' - \theta$. При такому повороті ротора збільшується струм якірної (роторної) обмотки від I до I' та відповідно і струм обмотки збудження, а ЕРС від нього – від E_0 до E'_0

$$E'_0 - E_0 = \Delta E_0 + \Delta I_d (x_d - x'_d). \quad (9)$$

У цьому випадку

$$\Delta I_d = \frac{E'_0 - U_n \cos \theta'}{x_d} - I_d = \frac{(E'_0 - E_0) + U_n (\cos \theta - \cos \theta')}{x_d}. \quad (10)$$

Тоді $E'_0 = E_0 + U_n \frac{x'_d - x_d}{x'_d} (\cos \theta - \cos \theta')$,

$$M'_0 = \frac{1}{\omega_0} \left[\frac{U_n E_0}{x_d} \cos \theta' + \frac{U_n^2}{2} \left(\frac{1}{x_q} - \frac{1}{x_d} \right) \cos 2\theta' + U_n^2 \left(\frac{1}{x'_d} - \frac{1}{x_d} \right) \left(\cos \theta \cdot \cos \theta' - \frac{1}{2} \cos 2\theta' \right) \right] = M_{\theta y} + \Delta M_{\theta}. \quad (11)$$

Якщо прийняти $\theta' \approx \theta$, то додатковий синхронізуючий момент, що визваний перехідними струмами, буде таким

$$\Delta M_{\theta} = \frac{1}{\omega_0} U_n^2 \left(\frac{1}{x'_d} - \frac{1}{x_d} \right) \sin^2 \theta. \quad (12)$$

Реальна обмотка збудження має активний опір r_f . Тому перехідний струм в ній від коливання ротора буде формуватись реактивною складовою напруги ПЧ – $U_n \sin \theta \cdot \sin \theta'$, оскільки активна складова – $U_n \sin \theta \cdot \cos \theta'$ буде направлена на покриття додаткових теплових втрат $\Delta P = (\Delta i_f)^2 r_f$. Величина кута θ' визначаються таким чином

$$\sin \theta' = \frac{x'_f s}{\sqrt{r_f^2 + (x'_f s)^2}} = \frac{x'_f \cdot s / r_f}{\sqrt{1 + (x'_f s / r_f)^2}}, \quad (13)$$

де x'_f – еквівалентний перехідний опір обмотки збудження,

$$x_f' = x_f + \frac{x_a x_{ad}}{x_a + x_{ad}}, \quad (14)$$

x_a, x_{ad} – синхронні реактивні опори обмоток ВД від потоків розсіяння та робочого;
 $s = f_k / f_1$ – ковзання при коливаннях ротора,
 f_k – частота коливань ротора;
 f_1 – частота струму ПЧ.

Таким чином, при врахуванні активного опору обмотки збудження величина додаткового синхронізуючого моменту від коливання ротора може бути розрахована за виразом

$$\Delta M_\theta = \frac{1}{\omega_0} U_n^2 \left(\frac{1}{x_d'} - \frac{1}{x_d} \right) \sin^2 \theta \cdot \sin^2 \varphi' = \frac{1}{\omega_0} U_n^2 \left(\frac{1}{x_d'} - \frac{1}{x_d} \right) \frac{T_d' s^2}{1 + T_d' s^2} \sin^2 \theta. \quad (15)$$

де $T_d' = x_f' / r_f$ – перехідна стала часу обмотки збудження (якщо час вимірювати у радіанах).

Необхідно зауважити, що при коливаннях ротора через трансформаторний зв'язок між обмотками якоря (ротора) та індуктора (збудження) в останній виникає змінний струм, активна складова якого генерує з полем якоря (ротора) гальмівний (демпферний) момент як у звичайній асинхронній машині. Використовуючи традиційний підхід можемо записати момент асинхронної машини (синхронної в режимі коливань)

$$M = I_f^2 \frac{r_2}{s \omega_0} = \frac{U_2^2}{\left(\frac{r_2}{s} \right)^2 + x_k^2} \left(\frac{r_2}{s \omega_0} \right) = \frac{U_2^2 r_2 / \omega_0}{r_2^2 + x_k^2 s^2}. \quad (16)$$

Тут

$$U_2 = U_n \sin \theta \cdot \frac{x_f'}{x_1'}; \quad (17)$$

$$r_2 = r_f'; \quad (18)$$

$$x_k = x_f';$$

$$\frac{1}{x_1'} = \frac{1}{x_d'} - \frac{1}{x_d}; \quad (19)$$

$$x_f' = \frac{x_f x_{ad} + x_a x_f + x_a x_{ad}}{x_a + x_{ad}}. \quad (20)$$

Враховуючи (18) – (20), маємо:

$$\frac{x_f'}{x_1'} = \left(\frac{x_{ad}}{x_a + x_{ad}} \right)^2 = \frac{1}{\sigma_1^2}; \quad \sigma_1^2 = 1 + \frac{x_a}{x_{ad}}. \quad (21)$$

Демпферний момент для синхронної машини можна виразити через (16) і подати так [4]

$$M = I_f^2 \frac{r_f}{s \omega_0} = M_\pi \frac{d\theta}{dt} = M_\pi s = U_n^2 \left(\frac{1}{x_d'} - \frac{1}{x_d} \right) \frac{x_f' r_f s}{r_f^2 + (x_f' s)^2} \sin^2 \theta. \quad (22)$$

Звідки демпферний момент [4]

$$M_\pi = U_n^2 \left(\frac{1}{x_d'} - \frac{1}{x_d} \right) \frac{x_f' r_f}{r_f^2 + (x_f' s)^2} \sin^2 \theta = \left(\frac{U_n}{\sigma_1} \right)^2 \frac{r_f}{r_f^2 + (x_f' s)^2} \sin^2 \theta. \quad (23)$$

Таким чином, при коливаннях ротора ВД в ньому буде генеруватись момент, що є сумою синхронізуючого за (12) та демпферного за (23).

Автоматично постає питання стійкості ВД в такому режимі – як статичної, так і динамічної. Як відомо [4] вона визначається переважувальних здатністю за моментом. Саме момент є інтегруючим фактором що дозволяє при змінні збурень на машину (збурення, параметри навантаження та інші) і поверненні їх на попередній рівень вернути ВД у початковий стан тобто, не дає йому «випасти» з синхронізму. Статична переважувальна здатність ($\lambda_m = M_\theta / M_\pi$) ВД у режимі, що розглядаються, при нехтуванні величиною активного опору якірної обмотки визначається максимальним значенням електромагнітного моменту за (5). Оскільки ВД має явнopolосну конструкцію магнітної системи, то максимальне значення електромагнітного моменту $M_{\theta m}$ настає при кутах навантаження $\theta < \pi/2$, які залежать від збудження.

Як було сказано вище, у випадку динамічних режимів ВД в обмотці збудження виникають перехідні струми, що перешкоджають змінням магнітного потоку як якоря, так індуктора. Тому ці струми генерують додатковий електромагнітний момент за (12), збільшуючи переважувальну здатність ВД у динамічних режимах.

Причому якщо динаміка пов'язана з механікою (накид-зняття навантаження на валу машини), то процеси у демпферній системі швидко закінчуються (порівняно з механічними), а вирішальними будуть тільки перехідні струми в контурі збудження. Коли ж збурення виникає по каналу живлення (ПЧ), то перехідні струми в обмотці збудження суттєво залежать і від перехідних процесів у демпферній системі. Додатковий момент, що генерується при перехідних процесах в обмотці збудження при коливаннях ротора ВД, можна розрахувати за (24) і, як видно, сильно залежить від різниці у x_d та x'_d , а також величин початкового навантаження (θ) і збурення ($\Delta\theta = \theta' - \theta$) [4]

$$\Delta M_\tau = \frac{U_n^2}{\omega_0} \left(\frac{1}{x'_d} - \frac{1}{x_d} \right) (\cos\theta - \cos\theta') \sin\theta' . \quad (24)$$

Для оцінки впливу цього моменту на стійкість ВД у динамічних режимах наводимо рис. 2 [4], на якому зображені криві перевантажувальної здатності СМ що взята за основу при побудові ВД ($x_d^*=1$; $x'_d^*=0,4$; $x_q^*=0,6$; $U_n^*=1$; $E_0^*=1,4$). Як видно з рисунка вплив електромагнітних процесів в обмотках ВД при коливаннях ротора суттєвий, що дозволяє збільшити динамічну стійкість ВД.

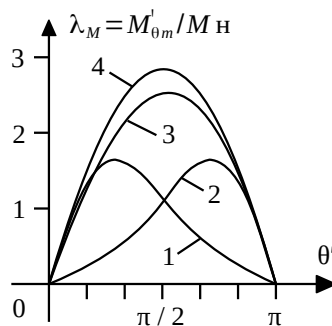


Рис. 2 Криві моментів двигуна у динамічних режимах:

- 1 – $M_{\theta y}(\theta')$;
 - 2 – $M'_\theta(\theta')$ при $\theta = \pi/2$;
 - 3 – $M'_\theta(\theta')$ при $\theta = \pi/4$;
 - 4 – $M'_\theta(\theta')$ при $\theta = 0$
- $M_{\theta y}$ – момент в усталених режимах

Висновок. При втраті контролю за орієнтацією магнітних потоків у вентильному двигуні постійного струму останній переходить в режим синхронного з коливаннями ротора при збуреннях. При роботі вентильного двигуна постійного струму в асинхронному режимі виникає додатковий момент, який збільшує момент машини і завдяки йому підвищується стійкість машини.

Список літератури: 1. Шевченко І. С. Спеціальні питання теорії електропривода. Динаміка синхронного електропривода: навч. посіб. / І. С. Шевченко, Д. І. Морозов. – К. : Кафедра, 2014. – 276 с. 2. Шевченко І. С. Електромеханічні і енергетичні процеси в синхронному електроприводі: навч. посіб. / І. С. Шевченко, Д. І. Морозов, Н. І. Андреева. – Алчевськ : ДонДТУ, 2011. – 396 с. 3. Морозов Д. І. Вентильний двигун постійного струму на базі синхронної машини оберненої конструкції / Д. І. Морозов, І. С. Шевченко // Електротехніка та електроенергетика. – 2014. – №2. – С. 6-12. 4. Костенко М. П. Электрические машины. Ч. 2 / М. П. Костенко, Л. М. Пиотровский. – Л. : Энергия, 1973. – 648 с. 5. Кононенко Е. В. Электрические машины (спец. курс). Уч. пособие для вузов. / Е. В. Кононенко, Г. А. Сипайлов, К. А. Хорьков. – М. : Высш. школа, 1975. – 279 с.

Bibliography (transliterated): 1. Shevchenko I. S., Morozov D. I. *Spetsial'ni pytannya teoriyi elektropyvoda. Dynamika synkhronnoho elektropyvoda* [Special issues of electric drive theory. Dynamics of synchronous electric drive]. Kiev, Kafedra Publ., 2014. 276 p. 2. Shevchenko I. S., Morozov D. I., Andreyeva N. I. *Elektromekhanichni i enerhetychni protsesy v synkhronnomu elektropyvodi* [Electromechanical and energy processes in synchronous electric drive]. Alchevs'k, Donbass State Technical University Publ., 2011. 396 p. 3. Morozov D. I., Shevchenko I. S. *Ventyl'nyy dvyhun postynohogo strumu na bazi synkhronnoyi mashyny obremenoyi konstruktsiyi* [Valve direct current machine on base of the synchronous machine inverse designs] *Elektrotekhnika ta elektroenerhetyka*. 2014, no. 2, pp. 6-12. 4. Kostenko M. P., Piotrovskii L. M. *Elektricheskie mashyny. Ch. 2* [Electric machines. Part 2]. Leningrad, Energiya Publ., 1973. 648 p. 5. Kononenko E. V., Sipajlov G. A., Hor'kov K. A. *Jelektricheskie mashyny (spec. kurs). Uch. posobie dlja vuzov* [Electric machines]. Moscow, Vysshaja shkola Publ., 1975. 279 p.

Надійшла 4.06.2017